**Zeitschrift:** Vermessung, Photogrammetrie, Kulturtechnik: VPK = Mensuration,

photogrammétrie, génie rural

**Herausgeber:** Schweizerischer Verein für Vermessung und Kulturtechnik (SVVK) =

Société suisse des mensurations et améliorations foncières (SSMAF)

**Band:** 82 (1984)

**Heft:** 10

**Artikel:** PMS 2 : ein automatisches Untertage-Profilaufnahmesystem hoher

Geschwindigkeit

**Autor:** Celio, T. / Matthias, H.J.

**DOI:** https://doi.org/10.5169/seals-232120

## Nutzungsbedingungen

Die ETH-Bibliothek ist die Anbieterin der digitalisierten Zeitschriften auf E-Periodica. Sie besitzt keine Urheberrechte an den Zeitschriften und ist nicht verantwortlich für deren Inhalte. Die Rechte liegen in der Regel bei den Herausgebern beziehungsweise den externen Rechteinhabern. Das Veröffentlichen von Bildern in Print- und Online-Publikationen sowie auf Social Media-Kanälen oder Webseiten ist nur mit vorheriger Genehmigung der Rechteinhaber erlaubt. Mehr erfahren

### **Conditions d'utilisation**

L'ETH Library est le fournisseur des revues numérisées. Elle ne détient aucun droit d'auteur sur les revues et n'est pas responsable de leur contenu. En règle générale, les droits sont détenus par les éditeurs ou les détenteurs de droits externes. La reproduction d'images dans des publications imprimées ou en ligne ainsi que sur des canaux de médias sociaux ou des sites web n'est autorisée qu'avec l'accord préalable des détenteurs des droits. En savoir plus

#### Terms of use

The ETH Library is the provider of the digitised journals. It does not own any copyrights to the journals and is not responsible for their content. The rights usually lie with the publishers or the external rights holders. Publishing images in print and online publications, as well as on social media channels or websites, is only permitted with the prior consent of the rights holders. Find out more

**Download PDF: 29.11.2025** 

ETH-Bibliothek Zürich, E-Periodica, https://www.e-periodica.ch

Un écart-type estimé à  $m = \pm 0,50 \, m$  peut finalement être accordé à toutes les trois composantes des coordonnées

Il existe deux raisons décisives d'accepter la solution (PE-MP) définitive: d'une part, elle fournit des coordonnées de grande précision, d'autre part, les points sont très bien calés dans un système de référence géocentrique matérialisé par les deux satellites aux éphémérides précises à 1 à 2 m près. Les petits résidus qui apparaissent après les transformations (PE-SP) – (PE-MP) et (SA) – (PE-MP) sont dus aux correlations provoquées par l'utilisation de matériel d'observation identique.

La campagne de calibration, réalisée par l'Université de Bonn, n'a pas révélé de différences significatives aux solutions. Les résultats obtenus par la campagne CIDOC correspondent à la précision attendue pour un canevas aux mailles de 150 à 200 km et ils satisfont tout à fait les conditions posées par la mensuration nationale.

Il reste à mentionner qu'il n'a fallu que trois ans pour accomplir le projet entier, commencé lors des premiers contacts de l'IFAG avec l'IGCI à l'Assemblée Générale de l'UIGG à Canberra en décembre 1979 et terminé avec la remise des coordonnées définitives.

#### Remarques:

Cet article est basé sur la publication AVN (Allgemeine Vermessungs-Nachrichten), 1/1984. Auteurs de cet article: Cissé et al. Pour de plus amples informations au sujet de la *Côte d'Ivoire Doppler Campagne (CIDOC)*, veuillez consulter les documents suivants:

- (1) Nachrichten aus dem Karten- und Vermessungswesen; Heft Nr. 91, Reihe 1: Originalbeiträge, IFAG Verlag, Frankfurt a. M. 1983
- (2) Abschlussbericht über die Dopplermesskampagne in der Republik Elfenbeinküste; Côte d'Ivoire Doppler Campagne; IFAG Verlag, Frankfurt a. M. 1982.
- (3) Berichte aus Forschung und Praxis: Einrichtung eines geodätischen Festpunktfeldes

erster Ordnung in der Republik Elfenbeinküste mit Hilfe des Navy Navigation Satellite Systems. A. Schödlbauer, ZfV 108, Heft Nr. 7, 1983.

Adressen der Verfasser:

Dipl. Phys. A. Geiger, Prof. Dr. H.-G. Kahle Institut f. Geodäsie und Photogrammetrie ETH-Hönggerberg CH-8093 Zürich

Prof. Dr. E. Reinhart Institut f. Angewandte Geodäsie Richard-Strauss-Allee D-6000 Frankfurt a. M. 70

K. Rösch Universität Stuttgart Geodätisches Institut Keplerstrasse 11 D-7000 Stuttgart 1

Nussallee 17

D-5300 Bonn 1

Prof. Dr.-Ing. A. Schödlbauer Hochschule der Bundeswehr München Allgemeine Geodäsie Werner Heisenberg-Weg D-8014 Neubiberg Prof. Dr. H. Seeger Geodätisches Institut Universität Bonn

# PMS 2 – ein automatisches Untertage-Profilaufnahmesystem hoher Geschwindigkeit

T. Celio, H. J. Matthias

PMS 2 ist ein elektro-optisches Messsystem für polare Profilaufnahmen von stationären Stationspunkten aus. Der Messbereich umfasst Distanzen von 1–10 m, die Genauigkeit der Distanzmessungen wird mit  $\sigma \leqq 0,5$  cm gekennzeichnet, die Auflösung der polaren Winkeleinstellung ist 1 gon, die Messdauer für einen Punkt beträgt 40 ms und für 400 Punkte eines Profils rund 30 s. Es werden das Messprinzip, das funktionale Modell, die Systemkomponenten, der Messvorgang, die Datenausgabe, Genauigkeit und systematische Fehler und die Anwendungen dargestellt.

PMS 2 est un système électro-optique pour le levé de profils avec coordonnées polaires et stationnement statique. La portée est de 1 à 10 m, la précision des distances est caractérisée par σ ≤ 0,5 cm, la résolution angulaire est de 1 gon, la mesure pour un point dure 40 ms et pour 400 points d'un profil environ 30 s. Sont expliqués le principe de mesure, le modèle fonctionnel, les composantes du système, le processus de mesure, l'édition des données et des résultats, la précision, les erreurs systématiques instrumentales, ainsi que les applications pratiques.

#### 1. Einleitung

PMS 2 basiert auf einem Patent von T. Celio und wurde im Rahmen eines Forschungsprojektes realisiert als Gemeinschaftsarbeit des Ingenieurbüros für Elektrooptik und Elektronik Dr. T. Celio und des Institutes für Geodäsie und Photogrammetrie an der Eidgenössi-

Institut für Geodäsie und Photogrammetrie, ETH Zürich, Separata Nr. 74

schen Technischen Hochschule Zürich, Prof. Dr. H. J. Matthias.

Die Arbeit soll fortgesetzt werden. Das Ziel ist es, die Messgeschwindigkeit noch ganz wesentlich zu steigern, damit PMS 2 von einem fahrenden, vorwiegend schienengebundenen, Messwagen aus eingesetzt werden kann.

Bei der gewählten technischen Lösung ist diese Erhöhung der Messgeschwindigkeit grundsätzlich möglich.

### 2. Das Messprinzip

(siehe Abbildungen 1, 2)

PMS 2 basiert auf dem Prinzip der parallaktischen Distanzmessung mit fester Basis B im Instrument. Der veränderliche Parallaxwinkel & wird, ähnlich wie bei der terrestrischen Photogrammetrie, als lineare Parallaxe in der Bildebene eines Messobjektives gemessen. Das Licht des Lasers (1) beleuchtet auf dem zu vermessenden Objekt (3) den Objektpunkt (P2). Das Objektiv (10) bildet den Objektpunkt (P2) auf dem Photodioden array (8) ab. Wenn sich die Distanz L zum Objekt (3) ändert, werden z.B. die Objektpunkte (P<sub>4</sub>), (P<sub>5</sub>) beleuchtet, und es entstehen auf dem Photodiodenarray die Bildpunkte (P'4), P'<sub>5</sub>). Die Verschiebungsbeträge + x, - x der Bildpunkte sind ein Mass für die Veränderung des parallaktischen Winkels ε und damit für die zu messenden Distanzen + L, - L gegenüber der Bezugsdistanz L<sub>0</sub>.

Die Überbrückung des ganzen Messbereiches von 1–10 m wird mit der selben Basis, aber mit zwei verschiedenen Kamerakonstanten des Varioobjektives (10) erreicht. Der linearen Ausdehnung

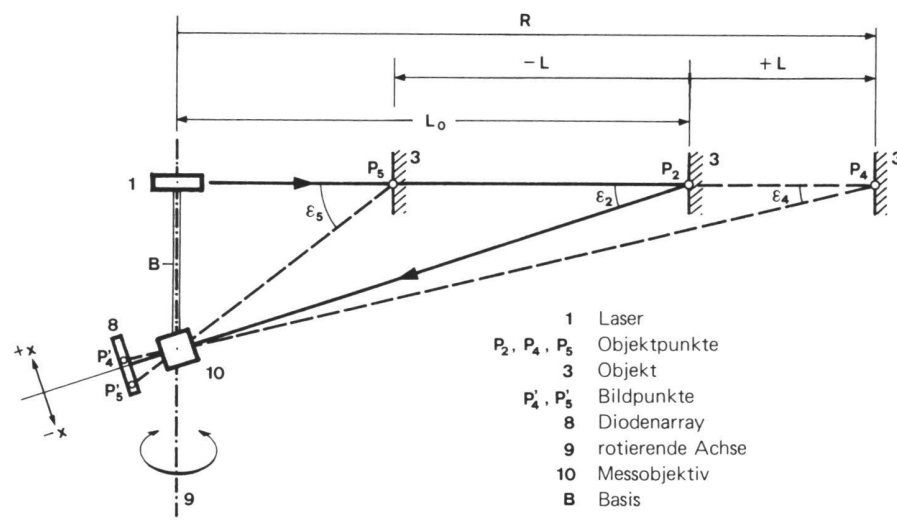


Abb.1 Messprinzip

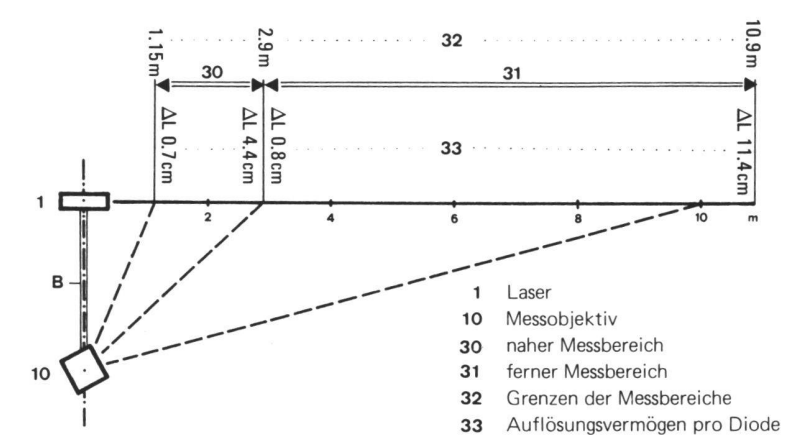


Abb. 2 Messbereiche und Auflösungsvermögen

 $\Delta x$  einer Diode in x-Richtung bei der kürzesten bzw. längsten Messdistanz entspricht eine lineare Auflösung in L-Richtung von  $\Delta L \approx 0.7$  cm bzw. 11,4 cm. Die ganze Messanordnung mit Laser (1), Basis B und Objektiv (10) dreht um die Achse (9), die horizontal oder geneigt ist, je nachdem ein Vertikalschnitt oder ein geneigtes Profil vermessen werden soll.

## 3. Das funktionale Modell

(siehe Abbildung 3)

#### Modellannahme

PMS 2 gewährleistet eine projektive Abbildung der Objektgeraden  $\mathbf{g_2}$  auf die Bildgerade  $\mathbf{g_1}$ .

## Abbildungsgleichung

Die vier sog. Basispunkte E,  $E_0$ ,  $E_1$ ,  $E_2$  bestimmen auf  $g_1$  und  $g_2$  je ein projektives Koordinatensystem mit den sog. Einheitspunkten  $E_{01}$ ,  $E_{02}$ . Die Längen  $L_0$ , a, p, q sind System- (Instrumenten)parameter.

Der funktionale Zusammenhang zwischen der Lage eines beliebigen Ob-

jektpunktes P und seinem Bildpunkt P' bzw. umgekehrt, L=L(x), ist durch das Gesetz des projektiv invarianten Dop-

pelverhältnisses der einander entsprechenden gerichteten Strecken bestimmt.

$$\frac{\overline{E_0E_2}}{\overline{E_2E_{02}}} : \frac{\overline{E_0P}}{\overline{PE_{02}}} = \frac{\overline{E_0E_{01}}}{\overline{E_{01}E_1}} : \frac{\overline{E_0P'}}{\overline{P'E_1}}$$

$$\frac{\frac{a+L_0}{-L_0}}{\frac{a+L_0+L}{-L_0-L}} = \frac{\frac{-p}{-q}}{\frac{-p+x}{-x-q}}$$

$$\to L = \frac{(\frac{1}{q} + \frac{1}{p})x}{(\frac{1}{L_0} - \frac{1}{a+L_0}) - (\frac{1}{pL_0} + \frac{1}{q(a+L_0)})x}$$

(1)

Die Kontrolle ergibt

 $R = L_0 + L$ 

$$R(x = 0) = L_0;$$
  
 $R(x = -q) = 0, R(x = +p) = -a$ 

Die Differentialform von (1) führt

- bei Beschränkung auf kleine Glieder
  1. Ordnung
- und gültig in der Umgebung von

$$x = 0; \stackrel{\triangle}{=} L = 0$$

$$R \approx L_0 + \frac{\frac{1}{q} + \frac{1}{p}}{(\frac{1}{L_0} + \frac{1}{a + L_0})} x$$
 (2)

Wenn  $g_1$  und  $g_2$  bei  $E_0$  einen rechten Winkel einschliessen, gilt für

$$q \approx \infty$$
; a  $<< L_0$   
 $R \approx L_0 + \frac{L_0^2}{D \cdot a} x$  (3)

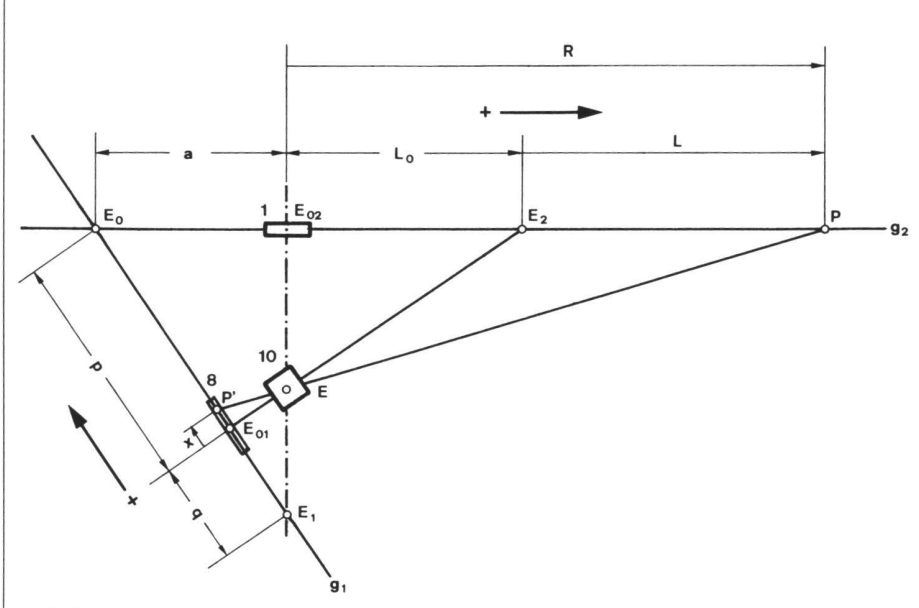


Abb. 3 Funktionales Modell von PMS 2

#### 4. Die Systemkomponenten

(siehe Abbildungen 4, 5)

PMS 2 besteht aus dem mechanisch elektro-optischen Messkopf und dem elektrisch-elektronischen Steuer- und Auswertesystem.



Abb. 4 PMS 2

## 5. Messvorgang

(siehe Abbildungen 6, 7)

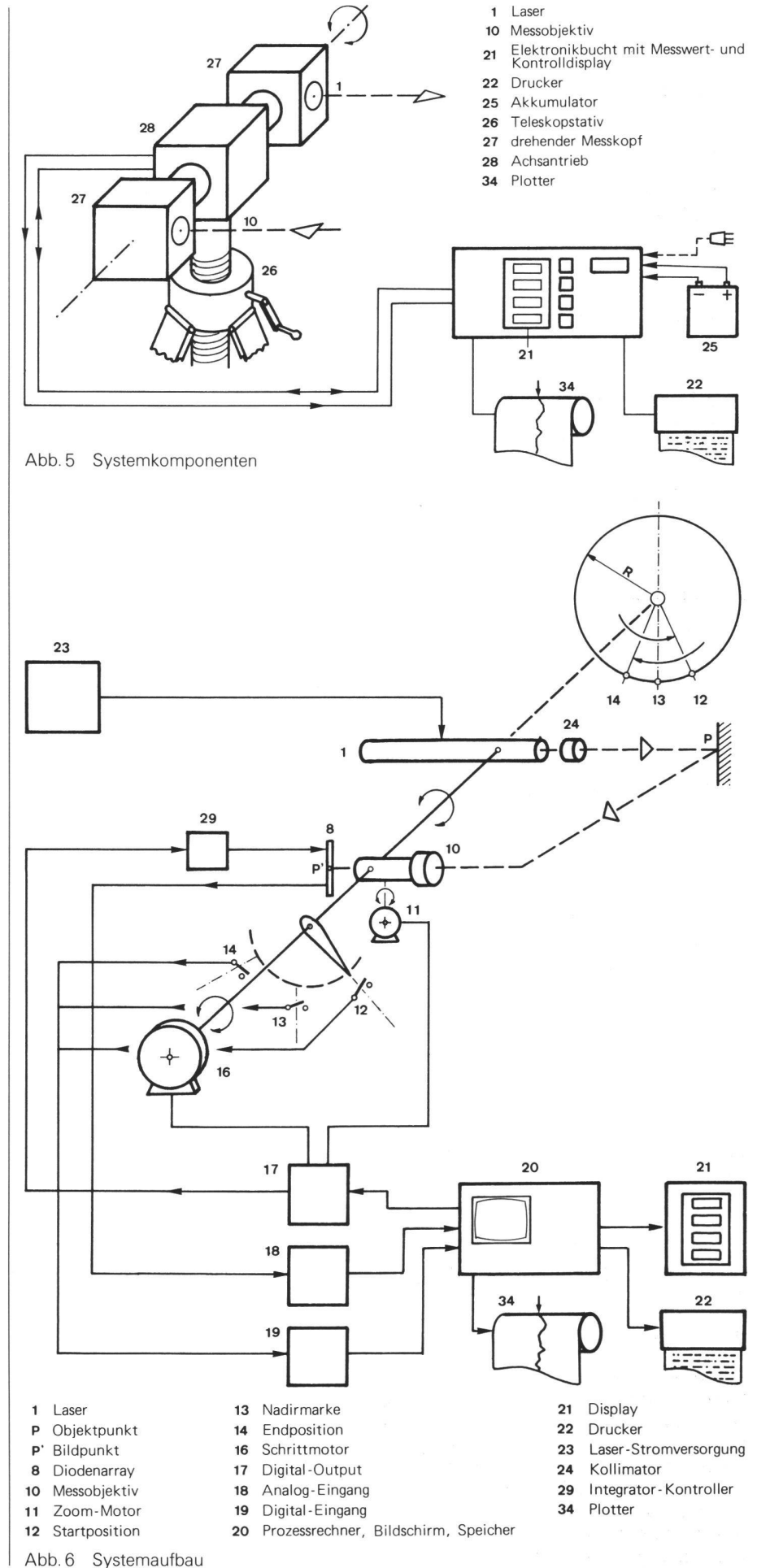
Mit der Drucktaste (45) wird die Bewegung des Messkopfes (27) ausgelöst. Ausgehend von der Startposition (12), dreht dieser über die Nadirmarke, Null gon (13), sodann schrittweise, gon um gon, über den ganzen Messmeridian zurück zur Markierung (13) 400 gon und stoppt endlich bei der Endposition (14). Während dieser Drehbewegung wird der Objekt-Bildort (P') auf dem Diodenarray kontinuierlich on-line mit einem Integrations-Interpolations-Algorithmus vom Computer (20) ermittelt und daraus mit der Abbildungsgleichung die Objektdistanz berechnet. Die Veränderung der Helligkeit der Objektpunkte (P<sub>2</sub>, P<sub>4</sub>, P<sub>5</sub>) wegen der veränderlichen Distanz, den Remissionseigenschaften des Objektes und wegen Fremdstrahlung wird kontinuierlich erfasst und in einem Bereich von 1:64 on-line durch Veränderung der Ingerationszeit des Diodenarrays (8) berücksichtigt. Die Mess- und Berechnungszeit pro Punkt dauert ca. 40 Millisekunden. Der Computer (20) steuert auch den Fortschritt durch den Motor (16) zum nächsten Messpunkt, die Einstellung der richtigen Kamerakonstanten des Messobjektives (10) mit dem Motor (11) sowie den Output mit dem Printer (22) oder dem Plotter 34.

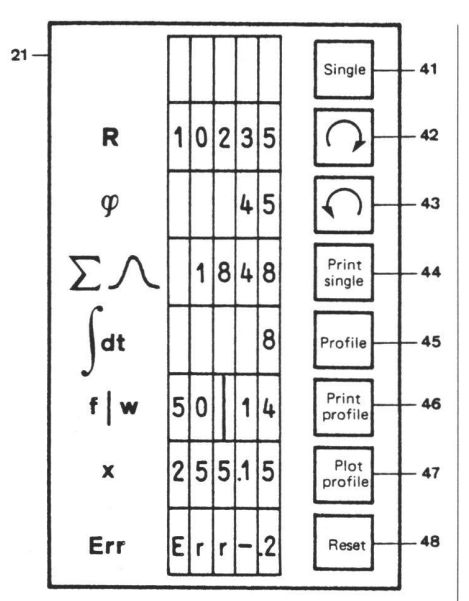
Einzelpunktweises Messen kann mit der Drucktaste (41) ausgelöst werden. Der Messkopf (27) wird mit den Steuertasten (42) (43) in die gewünschte Position gedreht; der Laserpunkt auf dem Messobjekt zeigt dabei dem Beobachter die richtige Lage an.

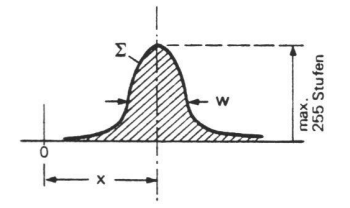
## 6. Die Datenausgabe

(siehe Abbildungen 7, 8)

Der Display (21) ist vor allem bei Einzelpunktmessungen nützlich. Zusätzlich zu







- Elektronikbucht mit Messwert- und Kontrolldisplay 21
- 41 Einzelpunktweise Messung
- 42 Messkopf manuell drehen im Uhrzeigersinn
- 43 - im Gegenuhrzeigersinn
- Einzelmessung ausdrucken
- 45 automatische Profilaufnahme auslösen
- Messwerte des Profiles ausdrucken 46
- 47 Messgraphik drucken
- 48 Reset
- $R = L + L_0$  [mm] Messwert  $\varphi$  [gon] Polarwinkel
- [Helligkeitsstufen x Anzahl Dioden] relative Objektpunkthelligkeit
- [centisekunde] Integrationsdauer
- [mm] Brennweite
- [Anzahl Dioden] Breite des Objektpunktbildes
- [Anzahl Dioden] Messwert, Lage des Bildpunktes auf array

Err [Nr.] Errorart

Abb. 7 Display

den Messwerten  $(\phi,\ R)$  geben die Anzeigen (x, f, w, ∫ dt) Hinweise auf die Qualität der Messung; wenn vorgegebene Toleranzwerte für die Signalqualität nicht erreicht werden – 10 Vorgaben sind möglich –, erfolgt ein Alarmsignal. In Abbildung 8 sind zwei mögliche Arten von Messprotokollen dargestellt und in Abbildung 9 eine Messgraphik.

#### 7. Systematische Fehler, Genauigkeit

Die Modellannahme in Ziffer 3 entspricht der Wirklichkeit nur näherungsweise, einerseits wegen theoretischen konstruktiven Vereinfachungen und anderseits wegen Unvollkommenheiten des Instrumentenbaus. Ursachen der wichtigsten Modellfehler:

- Der realisierte Abbildungsvorgang wird bestimmt durch die feste Bildweite und die feste Brennweite, bei stark veränderlicher Objektweite, die Blendenlage und Öffnung, die starke Unsymmetrie des abbildenden Bündels, verschiedene mögliche Aberrationen der Optik, die Berechnungsweise der Bildlage mit integrativer Interpolation.
- Elektro-optische Unregelmässigkeiten des Diodenarrays.

Alle diese Einflüsse werden durch geeignete empirische Eichung mit den Abbildungsparametern von Gleichung (1) modelliert.

Die bisherigen praktischen Erfahrungen haben die theoretische Annahme bestätigt, dass die verbleibenden systematischen Anteile von den zufälligen Fehlereinflüssen überdeckt werden. Die Genauigkeit ist im ganzen Messbereich durch  $\sigma \approx 0.5$  cm charakterisiert.

#### 8. Anwendungen, Ausblick

In [1] wurden die verschiedenen bisherigen Anwendungen von Untertage-Profilmessungen zusammengestellt und in die Genauigkeitsklassen

- a)  $\sigma \approx 10 \text{ cm}$ ; b)  $\sigma \approx 3-5 \text{ cm}$ ;
- c)  $\sigma \approx 1-2$  cm; d)  $\sigma \approx 1$  mm

eingeteilt. PMS 2 ist für Aufgaben der Klassen a), b), c) sehr geeignet.

number	5	operator fo						date	27.10.83	
moce	POLAR									
	0	1	2	3	4	5	6	7	8	3
0	*2	1764	1764	1754	1810	1812	1827	*2	*2	*1
10	*2	*2	1828	1854	1854	1851	1875	*2	1878	187
20	1880	1900	1892	1915	1928	1922	1924	*2	1800	181
30	1995	2008	2044	2058	2096	2091	2115	2125	2139	218
40	2197	2233	2265	2203	2212	2191	2102	2105	2444	242
50	2463	2515	2521	2576	2623	2652	~~			275
50	2727	2747	2741	2719	2683	A.1				
70	2530	2515	2491	2440	27.					
80	2359	2340	2333	231P						
90	2238	2231	2221							
100	1946	1943	50							
110 120	*2	*2								

number mode	1 X-Y		oPerato	r fp	*******************************			date	27.10.8	33
	0	1	2	3	4	5	6	7	8	9
o X	*2	1796 164	1824 154	1851 165	1882 121	1910 121	1940 108	*2	*2	*2
10 X	*2	*2	2111 132	2144 112	2175 108	2203 118	2235 110	*2	2292 124	2320 134
20 X	2349 139	2384 130	2409 147	2445 136	2478 135	2504 152	2532 162	*2	2535 299	2565 300
30 X	2674 150	2708 153	2753 136	2793 131	2835 123	2861 144	2901	207-		7023
40 X	3059 150	3109 142	3157 137	3146 208	317B	-				
50 X	3510 186	3574 177	3606 202	3F-7-						
60 X	3974 324	4016								

Abb. 8 Messprotokolle

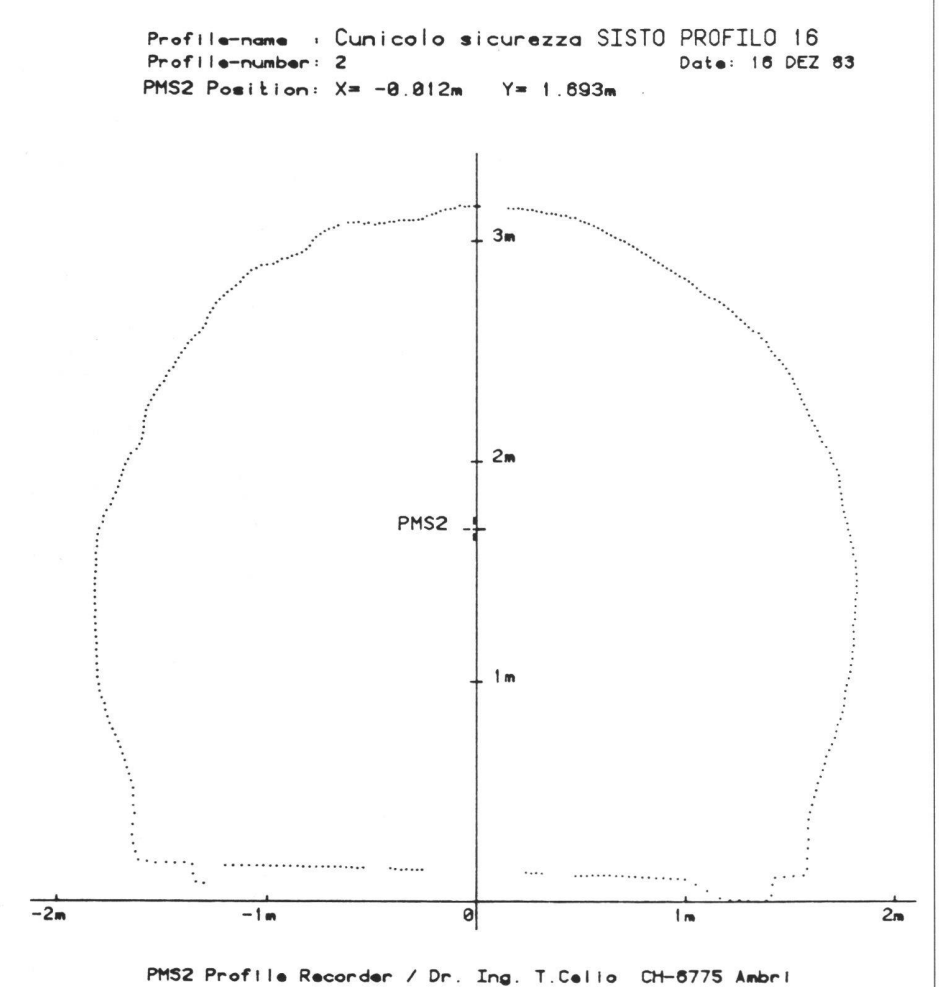


Abb. 9 Messgraphik

Falls für künftige Entwicklungsarbeiten Mittel bereitgestellt werden können, sollen zwei Richtungen besondere Aufmerksamkeit gelten: a) Viel raschere Messung für dynamische Hohlraumvermessungen ab fahrenden, insbesondere schienengebundenen Fahrzeugen; b) Messen von beliebig im Raum orientierten Profilen; vermessen von beliebigen Raumkurven.

### 9. Technische Daten von PMS 2

Messbereich: 1–10 m Durchmesser des Messpunktes: 6 mm, rot Auflösung angular bei Profilmode: 1 gon angular bei Einzelmode: 0,25 gon

adial:

Genauigkeit

angular:  $\sigma \approx 10^{-3}$ radial:  $\sigma \approx 0.5$  cm

adial:  $\sigma \approx 0.5 \text{ cm}$  $\triangleq (R = 5 \text{ m}) \sigma \approx 10^{-3} \cdot \text{R}$ 

 $\triangleq (R = 10 \text{ m}) \sigma \quad 0.5 \cdot 10^{-3} \cdot R$ 

1 mm

Messdauer 1 Profil,

400 Punkte: 15 s minimal; typisch 60 s

Masse:  $30 \times 30 \times 70 \text{ cm}$ 

Gewicht: 20 kg

#### Literatur:

[1] Matthias, H.: Tunnelprofilmessungen beim Bau des Heitersbergtunnels der Schweiz. Bundesbahnen. Schweiz. Bauzeitung Nr. 48/1975

#### Adressen der Verfasser:

Dr. T. Celio, Ufficio d'ingegneria per l'elettronica, CH-6775 Ambri

Prof. Dr. H.J. Matthias, Institut für Geodäsie und Photogrammetrie, ETH-Hönggerberg, CH-8093 Zürich.

# Die periodische Drainspülung

F. Zollinger

Der periodische Unterhalt von Entwässerungsanlagen ist heute alles andere als eine Selbstverständlichkeit, auch wenn es erwiesen ist, dass er die Funktionstüchtigkeit erhöht und die Lebensdauer der Drainagen verlängert. Der Artikel bringt die Ursachen von Abflussstörungen in Drainrohren, einen Abriss über die Entwicklung der Reinigungstechnik und stellt das neue Gerät der Firma Homburg vor, bei dem der Schlauch nicht wie üblich nur durch Ziehen, sondern auch durch Stossen im Rohr fortbewegt wird. Ausführungen zum Vorgehen bei Drainspülungen runden den Beitrag ab.

Aujourd'hui l'entretient des drainages ne va pas du tout de soi quoiqu'il soit prouvé qu'il améliore le fonctionnement et allonge la durée de vie des drainages. L'article montre les causes des engorgements dans les tuyaux de drain, jette un coup d'œil sur le développement de la téchnique du nettoyage des drainages et présente le nouveau nettoyeur de drains de la maison Homburg. Cette machine ne tire pas seulement à l'aide de la tête gicleuse, mais – par une nouvelle téchnique – pousse aussi le tuyau dans le drain. Un court exposé sur la manière de procédé dans le nettoyage des drains arrondit l'article.

#### 1. Der Drainunterhalt als Notwendigkeit

Drainagen werden gebaut, um das für Boden und Pflanze überschüssige und damit schädliche Wasser abzuführen. Dazu enthalten die im Boden verlegten Rohre grössere und kleinere Öffnungen. Wie die Erfahrung zeigt, gelangen durch diese Schlitze und Löcher neben dem Wasser auch unerwünschte Stoffe in die Rohre. Dabei handelt es sich um ausgewaschene Bodenpartikel mineralischer und organischer Zusammensetzung, im Wasser gelöste Stoffe, die in Reaktion mit dem Sauerstoff in den Drains ausgefällt werden können, und um eingewachsene Pflanzenwurzeln.